

**Proceeding Series of the Brazilian Society of Computational and Applied Mathematics**

---

## Influência do Torque de Gradiente de Gravidade nas Regiões de Circulação do Movimento Rotacional de Veículos Espaciais

Maria Cecília Zanardi<sup>1</sup>

Centro de Engenharia, Modelagem e Ciências Sociais, UFABC, Santo André, SP,

Mariana Aquino Rodrigues Almeida<sup>2</sup>

Universidade Estadual Paulista, UNESP, Guaratinguetá, SP

**Resumo.** O movimento rotacional de um satélite artificial não simétrico, em órbita elíptica, é analisado, considerando a influência do Torque de Gradiente de Gravidade. Para a região de circulação são apresentados os espaços de fase envolvidos e o comportamento temporal das variáveis envolvidas através de uma integração numérica.

**Palavras-chave.** satélites artificiais, movimento rotacional, Torque de Gradiente de Gravidade, variáveis canônicas, circulação.

### 1 Introdução

Neste trabalho é apresentado um estudo para analisar a influência do Torque de Gradiente de Gravidade - **TGG**, através da análise de regiões de circulação e da integração numérica das equações do movimento rotacional de um satélite artificial, descritas pelas variáveis canônicas de Andoyer [3]. Aplicações são realizadas para um satélite de médio porte em órbita elíptica, considerando que este satélite possui diferentes momentos de inércia, ou seja, é um satélite não simétrico.

O TGG ocorre devido ao gradiente de força gravitacional existente em diferentes partes do satélite [4], dependendo da distribuição de sua massa e da sua forma. Este torque é importante quando o corpo não possui simetria esférica na distribuição de sua massa ou quando o eixo de rotação do satélite não se alinha na direção do vetor posição do centro de massa do satélite com relação à Terra.

Inicialmente, as equações do movimento rotacional livre de torques externos são analisadas, obtendo-se os pontos de equilíbrio do movimento, e posteriormente são

---

<sup>1</sup> [cecilia.zanardi@gmail.com](mailto:cecilia.zanardi@gmail.com)

<sup>2</sup> [mari.matematica@yahoo.com.br](mailto:mari.matematica@yahoo.com.br)

incluídos os termos referentes ao torque de gradiente de gravidade. Para cada abordagem são apresentados o comportamento da Hamiltoniana, o espaço de fase, para os quais são apontados a separatriz e as regiões de libração e circulação. Para verificar a ordem da influência do torque de gradiente de gravidade são realizadas integrações numéricas das equações do movimento rotacional e comparações entre os resultados obtidos para o caso livre de torques e com o TGG. Os resultados aqui apresentados serão úteis para a análise da estabilidade do movimento rotacional para satélites em órbitas elípticas.

## 2 Equações do Movimento

As equações do movimento são descritas em termos das variáveis de Andoyer ( $l_1, l_2, l_3, L_1, L_2, L_3$ ), definidas por [3]:

- As variáveis angulares  $l_1, l_2$  e  $l_3$  são ângulos que relacionam os diferentes sistemas de referência envolvidos ;

- As variáveis métricas:  $L_2$  é o módulo do vetor momento angular de rotação  $\vec{L}_2$ ,  $L_1$  é a projeção de  $\vec{L}_2$  no eixo  $z$  no sistema principal e  $L_3$  é a projeção de  $\vec{L}_2$  no eixo equatorial  $Z$ .

As equações do movimento rotacional são dadas por [3,4]

$$\frac{dl_i}{dt} = \frac{\partial F}{\partial L_i}, \quad \frac{dL_i}{dt} = - \frac{\partial F}{\partial l_i}, \quad i = 1,2,3. \quad (1)$$

em que,  $l_i$  e  $L_i$  são as variáveis de Andoyer e  $F$  é a Hamiltoniana do problema, dada pela soma da Hamiltoniana  $F_0$  do movimento livre de torques externos e a Hamiltoniana  $F_1$  associada ao TGG, expressa por [4]

$$F(L_1, L_2, L_3, l_1, l_2, l_3, L, G, H, l, g, h) = F_0(L, l_1, L_1, L_2) + F_1(L_1, L_2, L_3, l_1, l_2, l_3, L, G, H, l, g, h) \quad (2)$$

com  $(L, G, H, l, g, h)$  sendo as variáveis de Delaunay associadas com o movimento translacional.

As expressões completas de  $F_0$  e  $F_1$  podem ser obtidas em [2,4] e dependem dos momentos principais de inércia, da massa do satélite e das variáveis de Delaunay.

As equações do movimento para o movimento livre de torques externos foram analisadas em [1,2], tendo sido verificado o comportamento temporal das variáveis que descrevem o movimento nas regiões de libração e circulação ao redor dos pontos de equilíbrio. Aplicações foram realizadas para um satélite de médio porte com momentos principais de inércia distintos, tendo sido determinados 3 pontos de equilíbrio, sendo dois pontos instáveis e apenas um estável. No comportamento temporal observou-se variações

periódicas na variável angular  $l_1$  e na variável métrica  $L_1$  e uma variação linear para a variável angular  $l_2$ , diretamente relacionada com a rotação do satélite.

As equações do movimento rotacional considerando o TGG são apresentadas em [2], para o caso de satélite não simétrico em órbita elíptica, com desenvolvimento até a primeira ordem na excentricidade. Estas equações foram integradas analiticamente em [4], sendo determinado que o TGG causa variações periódicas no módulo do momento angular de rotação ( $L_2$ ) e em suas projeções  $L_1$  e  $L_3$  e variações lineares e periódicas nas variáveis angulares  $l_1, l_2$  e  $l_3$ .

Estas equações serão utilizadas para a determinação do espaço de fase e para a análise do comportamento temporal das regiões de circulação do movimento.

### 3 Aplicações

As aplicações são realizadas considerando os dados de um satélite de médio porte [1,2,4], analisando o comportamento temporal das variáveis de Andoyer sob a influência do TGG para um intervalo de 500.000seg. A análise é feita para diferentes posições nas regiões de circulação do espaço de fase, sendo possível analisar os três planos de fase referentes as variáveis de Andoyer  $(l_1 \times L_1)$ ,  $(l_2 \times L_2)$  e  $(l_3 \times L_3)$ , os quais estão apresentados na Figura 1. O espaço de fase  $(l_1 \times L_1)$ , se manteve similar ao obtido no movimento livre de torques externos. O espaço de fase  $(l_2 \times L_2)$  foi omitido na Figura 1, mas apresenta apenas regiões de circulação com  $L_2 \geq L_3$  [2]. Com a inclusão do TGG as variáveis  $l_3$  e  $L_3$  deixam de ser constantes, resultando em regiões de libração no plano  $(l_3 \times L_3)$ . Saliente-se que os valores de  $L_3$  são limitados,  $-L_2 \leq L_3 \leq L_2$ , uma vez que  $L_3$  é a projeção de  $L_2$  no eixo inercial OZ.

A determinação do comportamento da Hamiltoniana e os planos de fase foram desenvolvidos com o software MATHEMATICA. A integração numérica das equações do movimento foram realizadas com o software MATLAB, utilizando o método de Runge-Kutta de 4ª ordem.

Para a região de circulação foram considerados os mesmos casos utilizados na análise do movimento livre de torques [1,2], sendo:

Caso I:  $l_1 = 1.8rad$  e  $L_1 = 3000kgm^2/s$ ;

Caso II:  $l_1 = 0.5rad$  e  $L_1 = 9000kgm^2/s$ ;

Caso III:  $l_1 = 2.5rad$  e  $L_1 = -6000kgm^2/s$ .

As Figuras 2 e 3 apresentam os comportamentos temporais das variáveis angulares e métricas de Andoyer, respectivamente, para o período de 500.000 s. O comportamento temporal da variável angular  $l_2$  foi aqui omitida, pois nela prevalece a variação linear associada ao movimento livre de torques externos [2]. O comportamento da variável métrica  $L_2$  também foi aqui omitido, mas é periódico com pequena amplitude [2], correspondendo a variações da ordem de  $10^{-3}$  do valor inicial de  $L_2$ , para o intervalo considerado, sendo que no movimento livre de torques se mantinha constante.

Na Figura 2, verifica se que o TGG contribui para uma pequena variação linear em  $l_1$ , afetando o movimento de precessão do eixo de inércia Oz ao redor do eixo do

momento angular do satélite. Nesta mesma figura observa se que o TGG introduz variações de curto período e variações lineares em  $l_3$ .

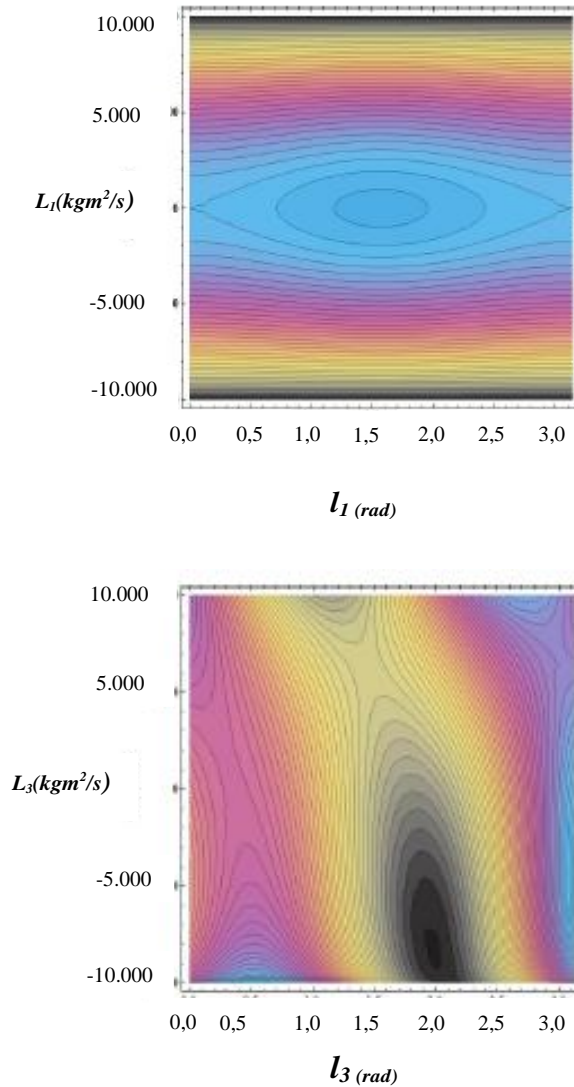


Figura 1 - Planos de fase ( $l_1 \times L_1$ ) e ( $l_3 \times L_3$ )

Pela Figura 3 observam se pequenas variações periódicas na projeção do momento angular  $L_1$ , cujas amplitudes diminuem com o aumento do momento angular, de modo que o TGG introduz uma oscilação da inclinação do plano de inércia XY em relação ao plano do momento angular. Observa-se também, que o TGG introduz variações de curto período e lineares em  $L_3$ . Saliente-se que a variação linear ocorre, devido ao fato de que nas equações do movimento foi considerada como condição inicial que a anomalia média é zero, ou seja que o satélite encontra-se no perigeu de sua órbita. Com a variação da anomalia média, esta variação em  $L_3$  passará a ser periódica de longo período. Em

relação ao valor constante de  $L_3$  no movimento sem torques externos, as diferenças nas variações em  $L_3$  são da ordem de  $10^{-2}$  do valor inicial de  $L_3$  para o intervalo considerado.

#### 4 Comentários Finais

Neste trabalho foi apresentada uma análise da influência do TGG no movimento rotacional de um satélite artificial não simétrico e em órbita elíptica, para as regiões de circulação do plano de fase. As variáveis de Andoyer mostraram-se adequadas para a análise realizada.

Para o movimento rotacional com o TGG foram analisados os espaços de fase e o comportamento temporal das variáveis de Andoyer nos mesmos pontos das regiões de circulação do espaço de fase ( $l_1 \times L_1$ ) utilizados em [3] para o movimento livre de torques externos.

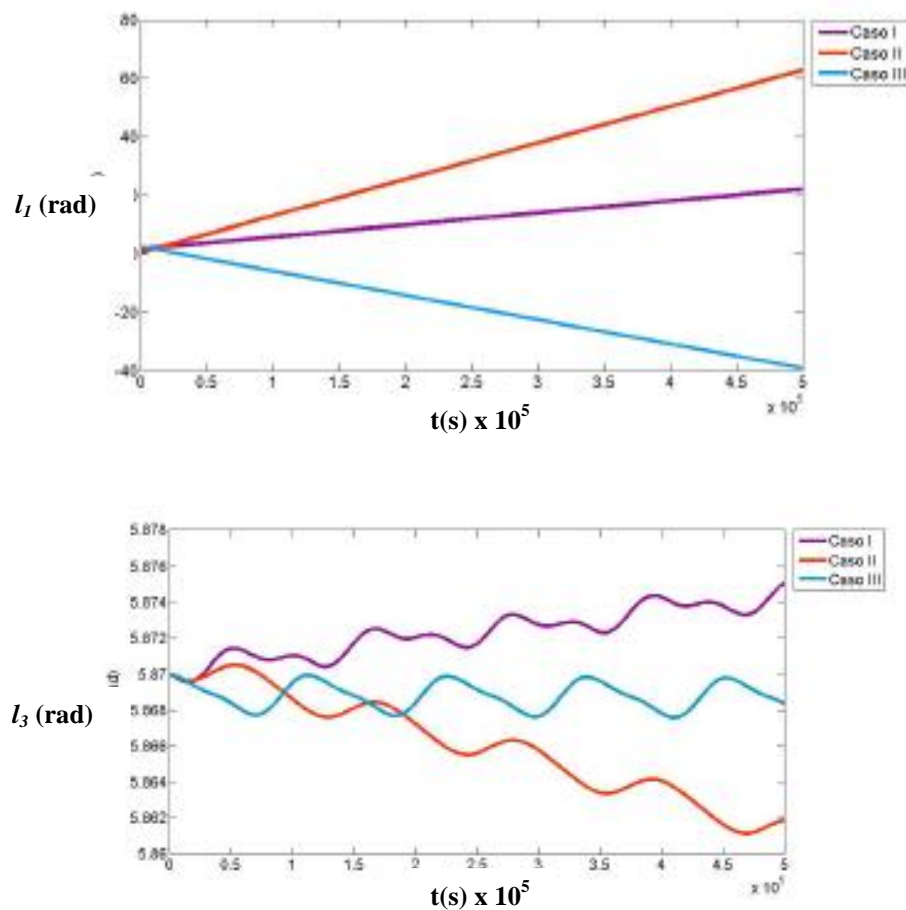


Figura 2: Comportamento temporal de  $l_1$  e  $l_3$ .

Os resultados obtidos nas integrações numéricas estão de acordo com os resultados analíticos obtidos por [Zanardi, 1986]. Os resultados aqui obtidos serão em uma análise de estabilidade não linear através de um critério de estabilidade que exige a normalização da Hamiltoniana ao redor dos pontos de equilíbrio.

### Agradecimentos

Os autores agradecem à FAPESP (processo N°. 2012/21023-6) e CAPES (programa PVNS) pelo apoio financeiro.

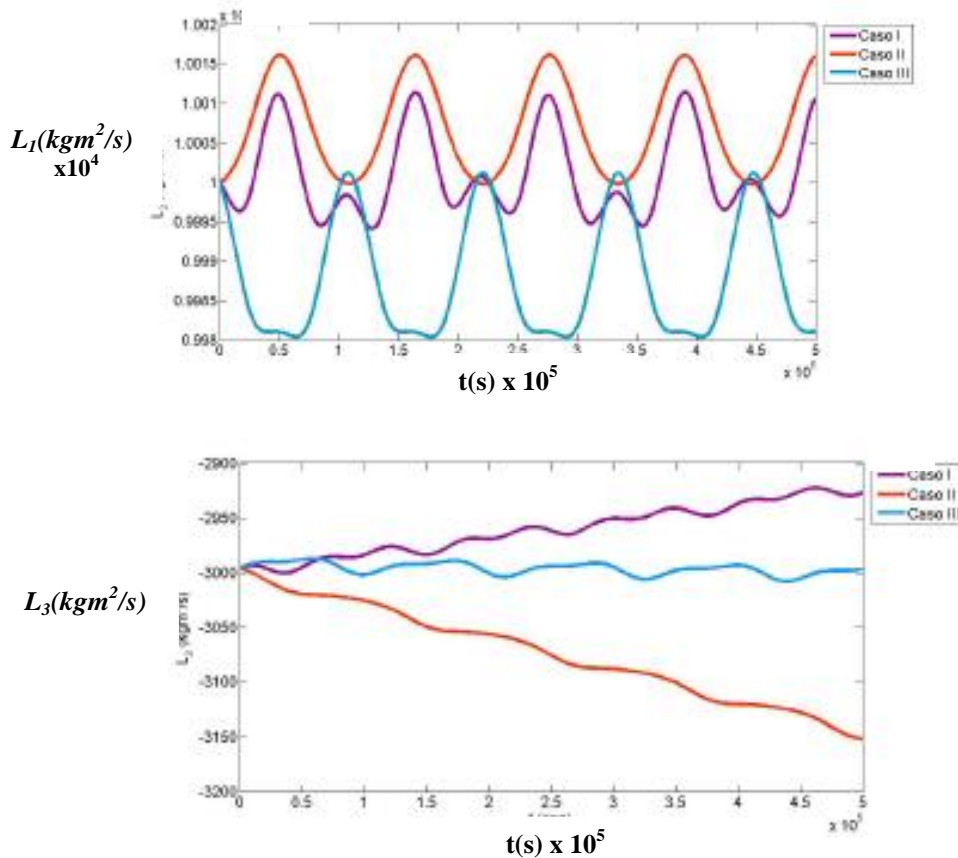


Figura 3: Comportamento temporal de  $L_1$  e  $L_3$ .

## Referências

- [1] M. A. R. Almeida e M. C. Zanardi, Proceeding Series of the Brazilian Society of Computational and Applied Mathematics, vol. 1, (2013).
- [2] M. A. R. Almeida, Regiões de estabilidade do movimento rotacional de veículos espaciais, Monografia de Qualificação em Física, UNESP, Guaratinguetá (2014).
- [3] H. Kinoshita, First Order perturbations of two body problems, Publ. Astron. Japan., n. 24, 423-439, (1972).
- [4] M. C. Zanardi, Study of the Terms of Coupling between Rotational and Translation Motion, Celestial Mechanics, vol.39, n.2, p. 147-164, (1986).